

دراسة طيفية وتحليلية لنواة النيون $^{22}_{10}Ne$ الناتجة عن تفكك (β^+) للنظير المشع الصوديوم $^{22}_{11}Na$

د. سارة ابراهيم الجمال*

(تاريخ الإيداع ٩/٩/٢٠٢٥ - تاريخ النشر ٣/١١/٢٠٢٥)

□ ملخص □

تم دراسة تفكك (β^+) لنظير الصوديوم $^{22}_{11}Na$ باستعمال كاشف من يوديد الصوديوم (NaI) المُشاب بالتاليلوم (Tl) مع قدرة فصل تقدر ب (~5.6%).

إضافة إلى ذلك درست التوزعات الزاوية للخطين الطيفيين الناتجين عن هذا التفكك والمتموضعين عند الطاقتين 511 keV و 1274 keV، وكذلك تم دراسة طاقة السوية المحرضة $^{21}_{10}Ne$ لنواة النيون $^{22}_{10}Ne$ ومقارنتها مع طاقات نفس السوية للنظائر الزوجية-الزوجية لكل من الكربون C، الأكسجين O، المغنيزيوم Mg، السيليكون Si، الكبريت S، الأرغون Ar، والكالسيوم Ca، ومحاولة معرفة شكل نواة النيون $^{22}_{10}Ne$ ، هل هي كروية الشكل أو غير كروية (مشوهة)؟ وتم أيضاً تحليل المعطيات بالاعتماد على نموذج الطبقات.

كلمات مفتاحية: أشعة غاما، كاشف يوديد الصوديوم (NaI)، منبع مشع، طيف طاقي، سوية محرضة $^{21}_{10}Ne$ ، توزع زاوي، نموذج الطبقات.

* عضو هيئة فنية (دكتوراه) - اختصاص فيزياء إشعاعية - قسم الفيزياء - كلية العلوم - جامعة اللاذقية - سورية.

Spectroscopy and analytical study of the Neon $^{22}_{10}Ne$ by decay (β^+) of the Sodium radioactive isotope $^{22}_{11}Na$

Dr. Sara Ibrahim Aljmmal*

(Received 9/9/2025.Accepted 3/11/2025)

□ABSTRACT □

The decay (β^+) of $^{22}_{11}Na$ isotope has been studied using a detector calibration NaI(Tl), with an overall energy resolution ($\sim 5.6\%$).

In addition the angular distributions have been obtained for the two energies peak at 511 keV and 1274 keV results from the precedent decay. The energy of state 2_1^+ of $^{22}_{10}Ne$ has been studied and comparison has been made between the state 2_1^+ of $^{22}_{10}Ne$ and the same state of the even-even isotopes: C carbon, O oxygen, Mg magnesium, Si silicon, S sulfur, Ar argon, Ca calcium, and we try to know the form of the nucleus $^{22}_{10}Ne$, is it spherical or no spherical (deformed)? The data have been analyzed with the Shell Model.

Words keys: Gamma rays, sodium iodide (NaI) detector, radiation source, energy spectrum, excited state, angular distribution, shell model.

*Assistant Prof. of Radiation Physics(doctorate), Department of Physics, Faculty of Science, Lattakia University, Syria

١- مقدمة:

إن الإدراك الحسي للتركيب النووي للنوى البعيدة عن خط الاستقرار تطور بشكل كبير في السنوات العشر الأخيرة. بشكل خاص، إن مفهوم الأعداد السحرية وتوضعها، المستخرج من امتلاء أو انغلاق الطبقات النووية انطلاقاً من النوى المستقرة، أعيد النظر به عند دراسة النوى الغنية بالنيوترونات. وإن الأسباب العائدة لذلك متعددة، نذكر منها بشكل خاص دور التأثير المتبادل بين نيوترون-بروتون، قوة السبيبن-مدار وقوة التزاح بين الجسيمات. إن هذه المفاعيل الثلاثة يمكن أن تغير بشكل محسوس طاقات المدارات أو/ومكان "فجوة - gap" الانغلاق للطبقات النووية [١-٩].

إن دور التأثير المتبادل نيوترون-بروتون تعاظمي أي أصبح كبيراً من أجل بعض النوى الغنية بالنيوترونات، بحيث أن مدارات البروتونات والنيوترونات المشاركة أو الشريكة في السبيبن-مدار تكون مأهولة أو مسكونة، يعكس ما يحدث من أجل النوى التي يكون فيها $Z \cong N$. إن هذا المفعول مسؤول عن انغلاق الطبقة $N = 20$ ، ومن ثم انتشار وتطوير مفهوم انقلاب في المدارات حول منطقة المغنيزيوم Mg والنيون Ne على سبيل المثال [١-٩].

إن التأثير المتبادل بين سبيبن-مدار هو المسؤول عن ظهور مفهوم الأعداد السحرية [١-٩]؛ حيث نذكر منها العدد السحري $N = 28$. إن إضعاف هذا المفعول متوقع من أجل النوى التي تمتلك قيم كبيرة للنسبة N/Z ، وهذا يمثل نوع من السطح الناشر أو المُبعثر للنواة، بعبارة أخرى كأنه سطح مائع أو سائل. إن دراسة النوى الإيزوتوبية (نوى لها نفس عدد النيوترونات ومختلفة بعدد البروتونات) $N = 28$ تُعتبر أساسية للمعرفة التفصيلية لوجود هذه الظاهرة التي شدتها تغير بحسب النماذج المستخدمة.

إن مفعول التزاح بين الجسيمات يمكن أن يساهم ويساعد الجسيمات على القفز والانتقال إلى مدارات بعزم زاوي أكثر ارتفاعاً (عزم زاوي مرتفع). إن صفة الميوعة أو السيولة لسطح النواة يساهم في محي وانخفاء كل أثر لانغلاق الطبقة أو الطبقة الجزيئية أو ما تحت الطبقة. وهذا هو الحال من أجل انغلاق الطبقة الجزيئية $N = 40$.

قمنا في هذا العمل من دراسة طيفية وتحليلية لنواة النيون $^{22}_{10}Ne$ الناتجة عن تفكك (β^+) للنظير المشع للصوديوم $^{22}_{11}Na$ ؛ حيث تم التركيز على دراسة تغير طاقة السوية (2^+_1) لنظائر النيون Ne الزوجية-الزوجية ومقارنتها بالنظائر الزوجية - الزوجية لكل من: الكربون C ، الأكسجين O ، المغنيزيوم Mg ، السيليكون Si ، الكبريت S ، الأرغون Ar ، والكالسيوم Ca . وتم أيضاً دراسة انغلاق الطبقات والطبقات الجزيئية النووية $N = 6, 8, 10, 12, 14, 16, 20$ وذلك من أجل النوى المذكورة أعلاه والغنية بالنيوترونات، وتحليل المعطيات بالاعتماد على نموذج الطبقات.

٢- أهمية البحث وأهدافه:

إن الهدف الرئيسي لهذا البحث هو:

- ١ الدراسة الطيفية التجريبية للطيف الطاقي للنظير المشع الصوديوم $^{22}_{11}Na$.
- ٢ دراسة التوزع الزاوي للخطين الطيفيين المتموضعين عند الطاقتين 511 و $1274 keV$.

-٣ دراسة طاقة السوية المحرضة $^{22}_{10}Ne_1^+$ لنواة النيون $^{22}_{10}Ne$ ومقارنتها مع طاقات نفس السوية للنظائر الزوجية-الزوجية لكل من: الكربون C، الأكسجين O، المغنيزيوم Mg، السيليكون Si، الكبريت S، الأرغون Ar، والكلاسيوم Ca.

-٤ محاولة معرفة شكل نواة النيون $^{22}_{10}Ne$ ، هل هي كروية الشكل أو لا كروية مشوهة؟
وتكمّن أهميتها في معرفة صفات نوى النيون ومميزاتها، وما هو شكل هذه النواة.

٣- طرائق البحث ومواده:

قبل البدء بالقياسات التجريبية قمنا بمعايرة الكاشف المستخدم في القياسات، ويقصد بالمعايرة ما

يلي:

- ١ معرفة الجهد الذي يطبق على الكاشف، والربح، ومدى تأثيرهما في تموير الخط الطيفي لمنع مشع لا على التعيين؛ أي انزياحه يميناً ويساراً.
- ٢ رسم مستقيم المعايرة، واستنتاج العلاقة الرياضية التي تربط بين طاقة الخط الطيفي، ورقم القناة.
- ٣ معرفة قدرة الفصل.

وبعدها قمنا بدراسة النظير المشع للصوديوم $^{22}_{11}Na$.

إن الأجهزة والأدوات المستخدمة في هذا البحث هي:

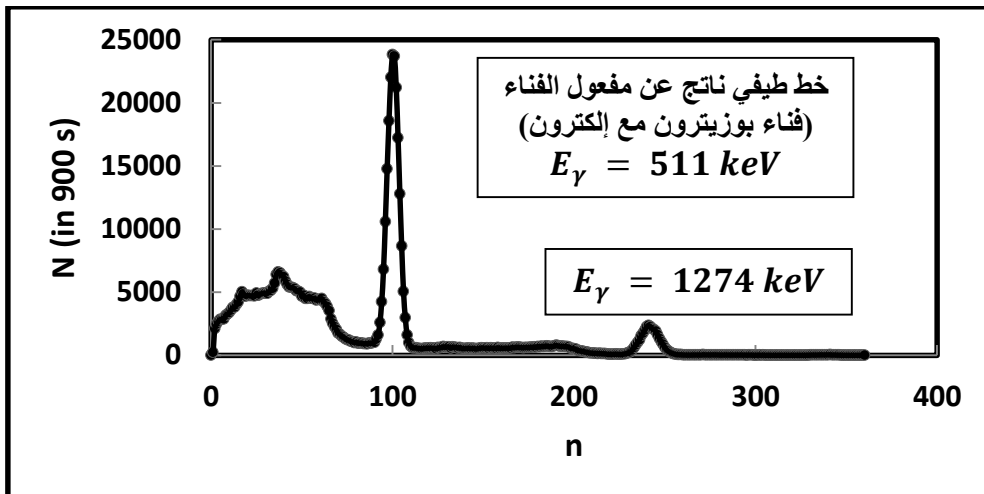
- ١ منبع مشع $^{22}_{11}Na$.
- ٢ كاشف وميسي.
- ٣ محلل متعدد الأقنية.
- ٤ حاسوب مجهز ببرنامج CASSY لمعالجة القياسات.

ملاحظة: جميع هذه الأجهزة [١٠] موجودة في مخبر الفيزياء النووية (قسم الفيزياء، كلية العلوم، جامعة اللاذقية)، حيث تم إنجاز هذا البحث. ونشير هنا إلى أن آلية عمل الأجهزة المستخدمة، ومعايرة الكاشف شُرحت سابقاً في المرجع [١١]، ويمكن الرجوع أيضاً إلى المراجع التالية [١٢، ١٣].

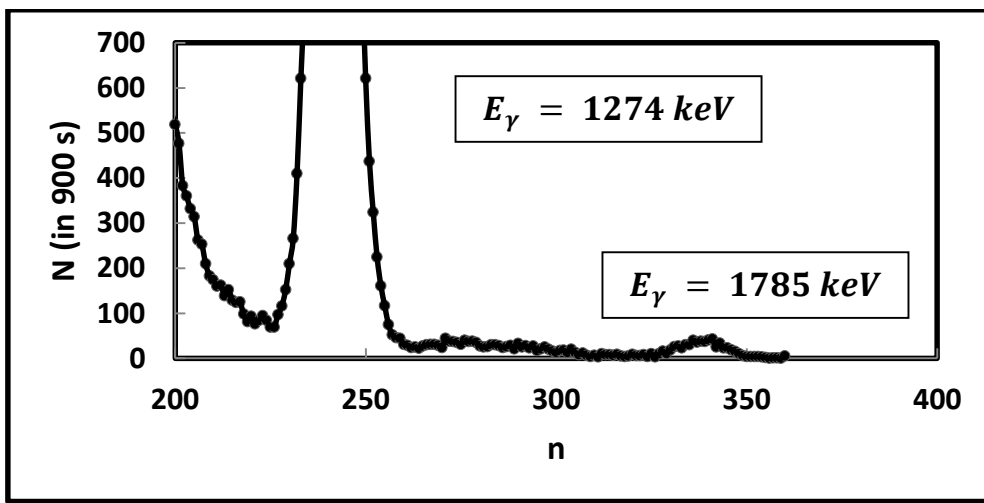
٤- النتائج والمناقشة:

٤-١- النتائج التجريبية:

يوضح الشكل (١) الطيف الطاقي لنظير الصوديوم - $^{22}_{11}Na_{11}$. معدل العد N بتابعية رقم القناة n .
(منبع معياري)،
 $E_{\gamma} = 511 \text{ keV}, 1274 \text{ keV}, 1785 \text{ keV}$.
بعد المنبع عن الكاشف (5cm).



(a)



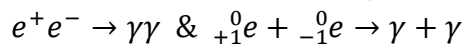
(b)

الشكل (١): الطيف الطيفي لأشعة غاما لنظير الصوديوم $^{22}_{11}Na$ الممتص في الكاشف $NaI(Tl)$. معلم العد N بتابعية رقم القناة n . منبع معياري، $E_\gamma = 511 \text{ keV}, 1274 \text{ keV}, 1785 \text{ keV}$. بسبب فناء بوزيترون في الكاشف والمنبع بحد ذاته، تم رصد خط طيفي وحيد بطاقة 511 keV يواكب كشف فوتون وحيد فقط من الفوتونين الناتجين عن مفعول الفناء. إذا أخذنا الطيف الطيفي للصوديوم $^{22}_{11}Na$ نلاحظ وجود ثلاثة خطوط طيفية تتوضع عند الطاقات التالية: $E_\gamma = 511 \text{ keV}, 1274 \text{ keV}, 1785 \text{ keV}$.

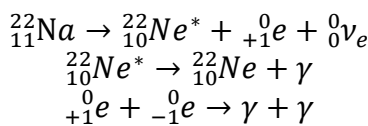
إن الصوديوم ٢٢ هو نظير مشع يُصنع بدور يُقدر تقربياً بنحو 2,5 سنة. ويتكاثر بإصدار بوزيترون (β^+) ويعطي النيون ٢٢ المستقر. وهناك جزء صغير جداً (0,06%) من التفككتات يصل مباشرة للحالة الأساسية للنيون. إن معظم التفككتات يقود إلى حالة محرضة للنيون، وجزء منه إلى الأسر الإلكتروني (يُقدر تقربياً بـ 10%) من الإلكترونات الذرية الداخلية، وقسم كبير بإصدار بوزيترونات. إن الحالة المحرضة للنيون تخلّى عن طاقتها لاحقاً، حيث تعود نواة النيون لحالتها الأساسية (ground state g.s) بإصدار فوتون غاما طاقته 1274 keV . وينتظر عمر النيون المحرض فقط بنحو 3 بيكو ثانية.

إن تفاعل البوزيترونات الصادرة مع إلكترونات المادة المحيطة بها يقود إلى توليد إشعاع الفناء (annihilation radiation) المميز بطاقة قدرها 511 keV . وبسبب انحفاظ كمية الحركة، يصدر فوتوناً غاماً (γ) في اتجاهين متعاكسين نتيجة الفناء لبوزيترون وإلكترون.

وبسبب التزامن الضعيف بين الخطط الطيفي (1274 keV) وإشعاع الفناء، يظهر خط طيفي في الطيف الطيفي عند القيمة $511 \text{ keV} + 1274 \text{ keV} = 1785 \text{ keV}$ ، ناتج عن الامتصاص المترافق للفوتونين (γ). بعبارة أخرى فإن تفكك β^+ للصوديوم 22 يُصدر بوزيترون، عادة يتم إيقافه عن طريق مفعول الفناء لفوتونين غاماً بطاقة قدرها (511 keV) :



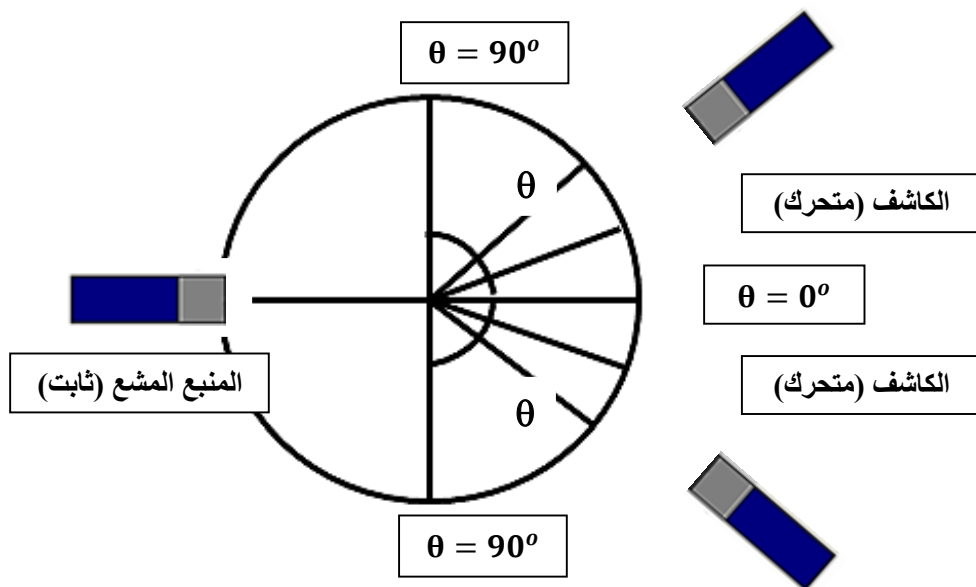
كما ذكرنا سابقاً، يبرز الطيف الطيفي للصوديوم $^{22}_{11}Na$ ثلاثة خطوط طيفية: (511 keV) ، (511 keV) ، و (1274 keV) ، و $(1274 \text{ keV} + 511 \text{ keV} = 1785 \text{ keV})$ [14]. إن الخطط الطيفي 511 keV و 1274 keV ينتج عن تفكك الـ ${}_{11}^{22}Na$ إلى ${}_{10}^{22}Ne^{2+}$ ، بينما الخطط الطيفي (1274 keV) ينتج عن تفكك الـ ${}_{10}^{22}Ne^{2+}$ إلى ${}_{10}^{22}Ne$ المستقر. إذ أن الخطط الطيفي (1785 keV) هو مجموع الخططين الطيفيين، أي مجموع الخططين السابقتين بخطوة واحدة (بحادية واحدة):



$$E_{\gamma_1} = 511 \text{ keV}, E_{\gamma_2} = 1274 \text{ keV}$$

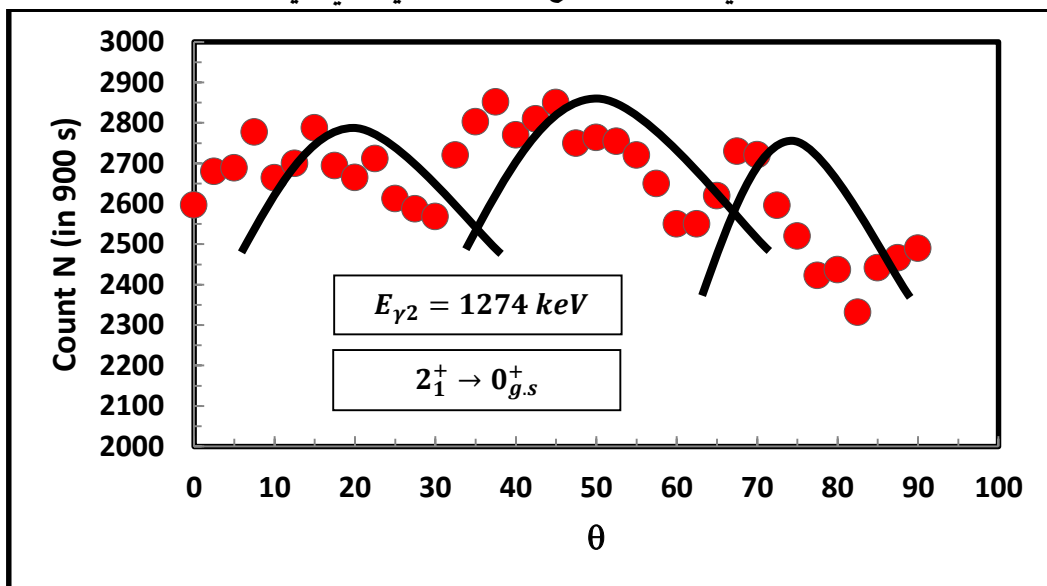
$$E_{\gamma_1} + E_{\gamma_2} = 511 + 1274 = 1785 \text{ keV}$$

يوضح الشكل (٢) عملية قياس التوزيع الزاوي للخطين الطيفيين بطاقيتين (511 keV) و (1274 keV) الناتجين عن تفكك الصوديوم $^{22}_{11}Na$ من أجل زوايا تأرجحت قيمها بين 0° و 90° . ويوضح الشكلان (٣) و (٤) التوزيعات الزاوية للخطين الطيفيين المذكورين أعلاه

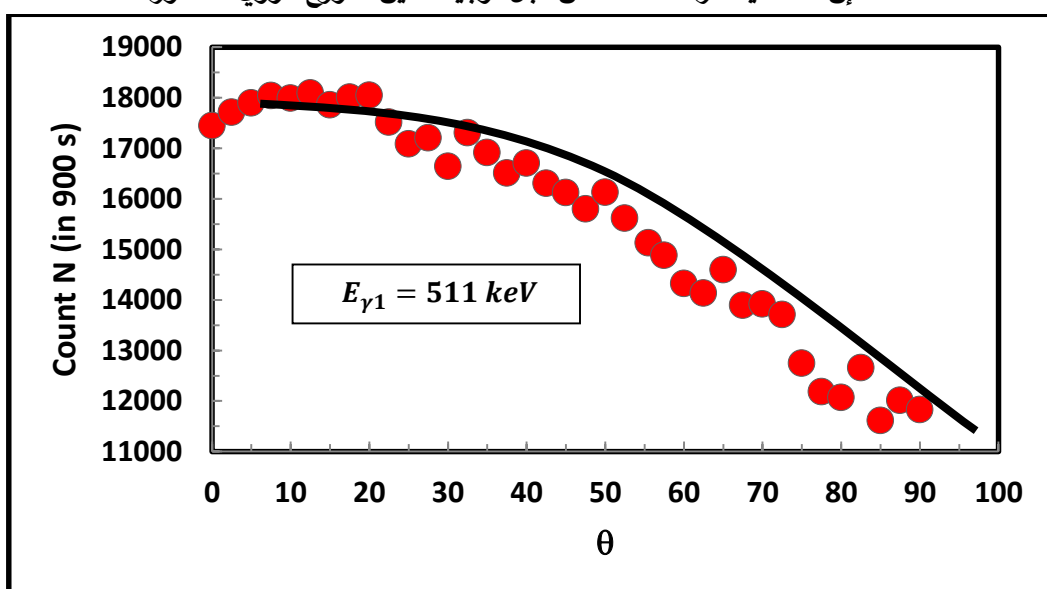


الشكل (٢): وضع الكافش المتحرك بالنسبة للمنبع المشع الثابت. حيث يمكن تحريك الكافش بزاوية بين 0° و 90° .

أي أنه يمكننا وضع الكاشف بالزاوية التي نريدها.



الشكل (٣): تغير معدل العد N بتابعية زاوية الكشف θ . وهو ما نطلق عليه اسم التوزع الزاوي للخط الطيفي 1274 keV . ويمثل الانتقال من السوية المحرضة 2_1^+ إلى السوية الأساسية $0_{g.s}^+$. إن المنحنيات رسمت فقط من أجل توجيه العين للتوزع الزاوي المذكور.



الشكل (٤): تغير معدل العد N بتابعية زاوية الكشف θ . وهو ما نطلق عليه اسم التوزع الزاوي للخط الطيفي 511 keV . إن المنحني رسم فقط من أجل توجيه العين للتوزع الزاوي المذكور.

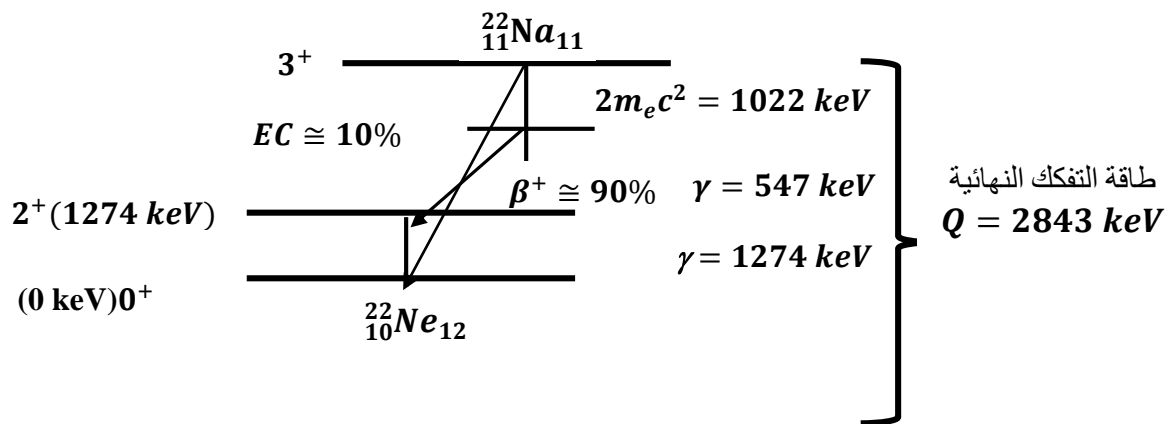
السؤال الذي يُطرح الآن هو التالي: ماذا نستنتج من التوزيعات الزاوية السابقة؟

نستنتج أن الانتقال $2_1^+ \rightarrow 0_{g.s}^+$ الذي طاقته تساوي (1274 keV) له مميزات وصفات خاصة حيث نرى ظهور أكثر من قمة، وهي مختلفة عن التوزع الطيفي للخط الطيفي الذي طاقته تساوي (511 keV) ، حيث يتراقص معدل العد بتابعية تزايد زاوية الكشف، وهو من منشأ مختلف تماماً ناتج عن فناء بوزيترون مع إلكترون.

تظهر القمة الأولى للانتقال $0_{g.s}^+ \rightarrow 2_1^+ \rightarrow 2_1^+$ عند الزاوية $15^\circ = \theta$ ، في حين تظهر القمةان الثانية والثالثة عند الزوايا الأكبر من $15^\circ = \theta$ (أي بين 20° و 90°). وعادة في هذا المجال، أو في هذا النوع من الدراسات، فإنه كلما زادت قيمة السبين النووي J^π ، أي كلما ازدادت قيمة ℓ ، تزاح القمة الأولى للتوزع الزاوي نحو اليسار، وهذا ما تم ملاحظته عند دراسة التوزعات الزاوية للسوبيتين 2_1^+ و 4_1^+ لنواة النيكل $^{60}_{28}Ni$ الناتجة عن تفكك بيتا سالب للكوبالت $^{60}_{27}Co$ ، أي باتجاه القيم المتزايدة للزاوية [15]، وهذه النتائج تتوافق مع النتائج المتعارف عليها في هذا النوع من الدراسات.

٤-٢- دراسة ومناقشة السويات المُحرضة:

يُطرح الآن السؤال الآتي: ما هي آلية تحريض السوية المُحرضة 2_1^+ للنيون $^{22}_{10}Ne$ ؟ هل هي تحريض فردي أو تحريض جماعي، أو ماذا؟
يوضح الشكل (٥) مخطط التفكك لنظير الصوديوم $^{22}_{11}Na$ المشع.



الشكل (٥): مخطط التفكك لنظير الصوديوم $^{22}_{11}Na$ بوساطة التفكك β^- حيث يتم توليد النيون المحرض $^{22}_{10}Ne_{12}^*$ الذي يصدر أشعة غاما بطاقة قدرها 1274 keV .

أولاً سوف نطرح السؤال التالي: ما هي قيمة الطاقة الناتجة عن تفكك الصوديوم $^{22}_{11}Na$ إلى النيون $^{22}_{10}Ne$ ؟ وما هي الطاقة المحررة التي توزع على شكل طاقة حركية بين نواتج التفكك (النواة الوليدة $^{22}_{10}Ne$ ، البوزيترون e^+ ، والنيوترينو الإلكتروني ν_e)؟

عادة يتم حساب ميزان الطاقة، وخاصة الطاقة المتوفرة (الجاهزة التي يمكن تحويلها إلى عمل مفيد في نظام معين)، بمساعدة الكتل النووية. إن هذا غير دقيق، أو غير فيزيائي لأن الهدف أو المنبع المشع مكون من ذرات وليس من نوى. إذاً، فمن الأفضل أن نكتب بشكل صحيح ميزان الطاقة باستخدام الكتلة الذرية التي تُعطى بالعلاقة التالية

$$\mathcal{M}(A, Z)c^2 = M(A, Z)c^2 + Zm_e c^2 - E_b$$

حيث: \mathcal{M} الكتلة الذرية، M الكتلة النووية، m_e كتلة إلكترون، Z شحنة النواة أو عدد البروتونات في النواة، c سرعة الضوء و E_b طاقة الارتباط للإلكترون في الذرة. ومن أجل التفكك بيتا β فالطاقة المتوفرة تحمل اسم Q_β التي تُكتب على الشكل التالي [١]:

$$Q_{\beta^-} = \mathcal{M}(A, Z)c^2 - \mathcal{M}(A, Z + 1)c^2 \quad (1)$$

$$Q_{\beta^+} = \mathcal{M}(A, Z)c^2 - \mathcal{M}(A, Z - 1)c^2 - 2m_e c^2 \quad (2)$$

وذلك بإهمال الفرق في طاقة الارتباط للذرات (A, Z) و $(A, Z + 1)$ أو $(A, Z - 1)$ ، وهذا يُعتبر شرعاً لأنَّه صغير نسبياً ولا يؤثر بشكل كبير على الحسابات. في الواقع، أثناء الانتقال أو التفكك بيتاً β فإنَّ النواة البدائية تحتوي Z بروتون ونواة النهائية $Z + 1$ أو $Z - 1$ بحسب التفكك إذا كان β^- أو β^+ على التوالي. وبالنسبة إلى الإلكترون ذري لا تتأثر مباشرة بالانتقال أو بالتفكك بحيث أنَّ الذرة النهائية تبدو لفترة من الزمن كشاردة موجبة أو سالبة على الترتيب. بالتأكيد، فيما بعد ويزمن قصير جداً (من مرتبة 10^{-12} ثانية)، الذرة النهائية تُرتب نفسها وتصبح حيادية بمساعدة الوسط المكون من المنبع، لكن من أجل الانتقالات أو التفككات بحد ذاتها، فإنَّ موازين الطاقة تُكتب على النحو التالي:

$$M(A, Z)c^2 + Zm_e c^2 - E_b \xrightarrow{\beta^-} M(A, Z + 1)c^2 + Zm_e c^2 - E'_b + m_e c^2$$

$$\mathcal{M}(A, Z)c^2 \xrightarrow{\beta^-} \mathcal{M}(A, Z + 1)c^2 - m_e c^2 + m_e c^2$$

و:

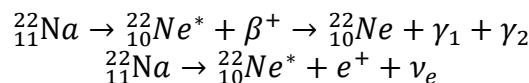
$$M(A, Z)c^2 + Zm_e c^2 - E_b \xrightarrow{\beta^+} M(A, Z - 1)c^2 + Zm_e c^2 - E'_b + m_e c^2$$

$$\mathcal{M}(A, Z)c^2 \xrightarrow{\beta^+} \mathcal{M}(A, Z - 1)c^2 + m_e c^2 + m_e c^2$$

وذلك بإهمال الفرق بين طاقتِي الارتباط $(E_b - E'_b)$ نحصل على الطاقات المتوفرة (الجاهزة) المعطاة في العلاقات (١) و (٢). وهذه الاعتبارات السابقة تؤخذ بشكل خاص في ظاهرة الأسر الإلكتروني [١، ٨، ١٧].

إنَّ تفكك نظير الصوديوم $^{22}_{11}Na$ يتم بوساطة تفكك β^+ (أي تحول بروتون إلى نيوترون)، في معظم الأحيان (أكثر من ٩٠٪)، إلى السوية المحرضة (1274 keV) للنيون $^{22}_{10}Ne^{2+}$. ويتفكك لاحقاً إلى الحالة الأساسية مُصدراً فوتون غالماً طاقته (1274 keV) .

تُعطى معادلة التفكك لنظير الصوديوم $^{22}_{11}Na$ على النحو الآتي:



تُحسب الطاقة الناتجة عن التفكك (أو الطاقة الكلية) وفق العلاقة التالية:

$$Q = (M_{Na} - M_{Ne})c^2 = (21,994437 u - 21,991385 u) \left(\frac{931.5 \text{ MeV}}{u} \right) = 2,842938 \text{ MeV} \cong 2,843 \text{ MeV} \cong 2843 \text{ keV}$$

حيث M ترمز لكتلة النوية. بينما تُحسب الطاقة المتوفرة (الجاهزة) Q_{β^+} الناتجة عن التفكك السابق انطلاقاً من الكتلة النووية التي تساوي إلى الفرق بين الكتلة الذرية وكتلة الإلكترونات المرافقة للنواة الذرية المُعتبرة على النحو الآتي على فرض أنَّ كتلة النيوترينيو الإلكتروني ν_e مهملة، وكتلة البوزيترون تساوي إلى كتلة الإلكترون $m(e^+) = m(e^-) = m_e$:

$$\begin{aligned}
 Q_{\beta^+} &= [\{M_{Na}(^{22}_{11}Na) - 11m_e\} - (\{M_{Ne}(^{22}_{10}Ne) - 10m_e\} + m_e)]c^2 \\
 &= [M_{Na}(^{22}_{11}Na) - M_{Ne}(^{22}_{10}Ne) - 2m_e]c^2 \\
 &= (21,994437 u - 21,991385 u) \left(\frac{931,5 MeV}{u} \right) - 2 \times 0,511 MeV = \\
 &= 2,842938 MeV - 1,022 MeV \cong 1,821 MeV \cong 1821 keV
 \end{aligned}$$

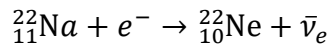
وهذه الطاقة الجاهزة أو المتوفرة والتي تساوي (1821 keV) توزع على شكل طاقة حركية بين نوافع التفكك (النوء الوليدة $^{22}_{10}Ne$, البوزيترون e^+ , والنيوترينو الإلكتروني ν_e). نلاحظ أيضاً أن:

$$Q = Q_{\beta^+} + 2m_e c^2 = 1821 + 1022 = 2843 keV$$

ونشير هنا إلى أن تفكك β^+ لا يمكن أن يحدث إلا إذا تحقق الشرط التالي:

$$M_{Na}(^{22}_{11}Na)c^2 > M_{Ne}(^{22}_{10}Ne)c^2 + 2m_e c^2$$

وهذا يقود إلى إدخال مفهوم الأسر الإلكتروني (EC - Electronic Capture) الذي يدخل بمنافسة مع تفكك β^+ . وهنا لا بد من كلمة صغيرة حول هذا المفهوم. إن إصدار بوزيترون وأسر إلكترون هما مفعولان تؤام، أي أن أسر إلكترون له نفس مفعول إصدار بوزيترون: تحويل بروتونات نوء إلى نيوترون وإنفاس الشحنة الكهربائية بمقدار واحد، ويتم توليد نيوترينو إلكتروني في الحالة النهائية. وبحسب حالتنا من أجل الصوديوم $^{22}_{11}Na$, فيمكن كتابة الأسر الإلكتروني وفق المعادلة التالية:



والطاقة المُحرّرة عن مفعول الأسر الإلكتروني Q_{EC} للصوديوم تساوي:

$$\begin{aligned}
 Q_{EC} &= [M_{Na}(^{22}_{11}Na) - M_{Ne}(^{22}_{10}Ne)]c^2 \\
 &= [\{M_{Na}(^{22}_{11}Na) - 11m_e\} - (\{M_{Ne}(^{22}_{10}Ne) - 10m_e\}) + m_e]c^2 \\
 &= [M_{Na}(^{22}_{11}Na) - M_{Ne}(^{22}_{10}Ne)]c^2 \\
 &= (21,994437 u - 21,991385 u) \left(\frac{931,5 MeV}{u} \right) = 2,842938 MeV \\
 &\cong 2,843 MeV \cong 2843 keV
 \end{aligned}$$

وهذه الطاقة المُحرّرة التي تساوي (2843 keV) توزع على شكل طاقة حركية بين نوافع التفكك (النوء الوليدة $^{22}_{10}Ne$ والنيوترينو الإلكتروني ν_e). ونشير هنا إلى أن:

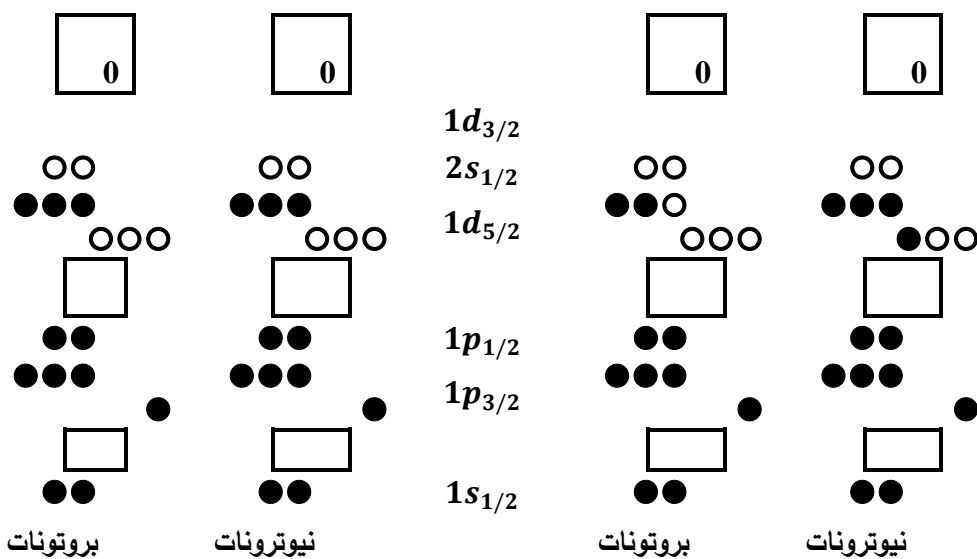
$$Q_{EC} = Q_{\beta^+} + 2m_e c^2 = 1821 + 1022 = 2843 keV$$

إن الطاقة الحركية العظمى التي يمكن للبوزيترون أن يحملها أو يكتسبها ($T_{max}(e^+)$ $\text{يُعطى بالعلاقة التالية}:$

$$T_{max}(e^+) = Q - 1274 - 2m_e c^2 = 2843 - 1274 - 1022 = 547 keV$$

ونشير أخيراً إلى أنه إذا كان $Q > 2m_e c^2$ فإن الأسر الإلكتروني هو المسيطر (المتوقع) أمام β^+ من أجل النوى الثقيلة (Z كبيرة)، وذلك لأن الإلكترونات تكون بشكل وسطي أكثر قرباً من النواة. وبعد الأسر الإلكتروني، هناك إعادة ترتيب للإلكترونات الذرية إما بإصدار أشعة X تميز الذرة الوليدة، وإما بإصدار إلكترون أوجيه Auger.

بالعودة إلى النواة $^{22}_{10}\text{Ne}_{12}$ الناتجة عن تفكك النظير المشع للصوديوم $^{22}_{11}\text{Na}_{11}$ نلاحظ أن هذه النواة هي زوجية البروتونات والنيوترونات. واستناداً إلى نموذج الطبقات، فإن توزع البروتونات والنيوترونات على الطبقات النووية وفق المخطط الموضح في الشكل (٦).



الشكل (٦): توزع البروتونات والنيوترونات على الطبقات النووية لكل من $^{22}_{11}\text{Na}_{11}$ و $^{22}_{10}\text{Ne}_{12}$ وفق نموذج الطبقات.

● مكان مملوء ○ مكان فارغ

استناداً إلى ذلك، وإلى توزيع البروتونات والنيوترونات على الطبقات وفق نموذج الطبقات، فإن سببين ونوعية الحالة الأساسية (المُستقرة غير المُحرضة) للنواة المدروسة هي [١٧]:
من أجل $^{22}_{10}\text{Ne}_{12}$ (زوجية - زوجية):

$J^\pi = 0^+$ وذلك لأنهما نوى زوجية البروتونات والنيوترونات، النوعية موجبة.

من أجل $^{22}_{11}\text{Na}_{11}$ (فردية - فردية):

$$|j_n - j_p| \leq j \leq |j_n + j_p| \rightarrow \left| \frac{5}{2} - \frac{5}{2} \right| \leq j \leq \left| \frac{5}{2} + \frac{5}{2} \right| \rightarrow j = 0, 1, 2, 3, 4, 5$$

$$\pi = (-1)^{\ell_n + \ell_p} = (-1)^{d+d} = (-1)^{2+2} = + \\ \rightarrow (J^\pi) = 0^+, 1^+, 2^+, 3^+, 4^+, 5^+$$

ووجد تجريبياً أن $3^+ = 3^+ (J^\pi)$ وهي قيمة تقع بين القيم المتوقعة نظرياً.

والسؤال الذي يُطرح الآن هو: كيف يمكن تحديد سببين ونوعية السويات المُحرضة للنوى، وبالخصوص النواة المدروسة في هذا البحث وهي نواة النيون $^{22}_{10}\text{Ne}_{12}$? وما هو شكل هذه النواة؟ وكما هو ملاحظ، فإن هذه النواة زوجية البروتونات (١٠ بروتونات) والنيوترونات (١٢ نيوترون)، وهي تقع ضمن الطبقتين السحرتين (٨) و (٢٠)، ولهذه الغاية للإجابة عن السؤال السابق سوف ندرس التركيب النووي للنظائر الغنية بالنيوترونات

والتي تقع ضمن الطبقتين السحريتين السابقتين، أي النظائر التي لها نفس عدد النيوترونات N ومختلفة في عدد البروتونات Z .

٤-٣- دراسة التركيب النووي للنوى التي تقع في المنطقة $20 - 8 = N$ ، البعيدة عن خط الاستقرار:

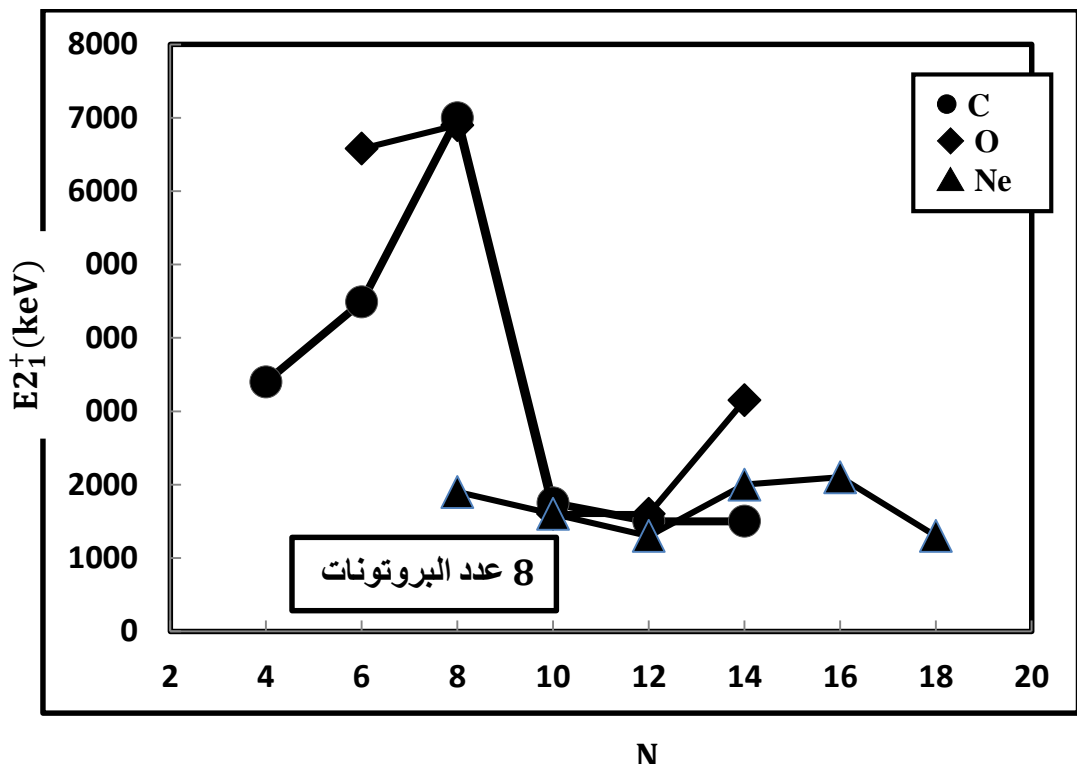
من أجل النوى الخفيفة والبعيدة عن خط الاستقرار، هناك استثناءات مثل البرليوم $^{11}_{4}Be_7$ ، الآزوت $^{15}_{7}N_5$ والكربون $^{15}_{6}C_5$ تشير إلى أن الحالة الأساسية (*ground state - g.s*) لهذه النوى تمتلك سين قدره $^{+}(1/2) = J^{\pi}$. إن هذا التغير بالنسبة لنموذج الطبقات الكلاسيكي، سببه انقلاب (أو انعكاس) المدارات $(2s_{1/2})$ و $(1p_{1/2})$. هذه الدلائل تشير إلى ضعف العدد السحري (٨)، وأن تركيب تلك النوى البعيدة عن خط الاستقرار يتغير بشكل كبير بالنسبة لتوقعات نموذج الطبقات الكلاسيكي.

إن القيم التجريبية للسويات 2^+ للنظائر الزوجية-الزوجية التالية: الكربون C، الأكسجين O، النيون Ne، المغنيزيوم Mg، السيليكون Si، الكبريت S، الأرغون Ar، والكالسيوم Ca مُعطاة في الجدول (١)، وممثلة بيانيًا في الأشكال (٧)، (٨)، (٩) و (١٠).

الجدول (١): طاقات السويات المحرضة $E(2_1^+)$ (keV) للنوى الزوجية - الزوجية لكل من:

الكربون C، الأكسجين O، النيون Ne، المغنيزيوم Mg، السيليكون Si، الكبريت S، الأرغون Ar، والكالسيوم Ca [٢٥-١٩].

| | | $E(2_1^+)$ (keV) | | | | | | | |
|----|-----------------|------------------|-------------|------------|-----------------|---------------|-------------|-------------|---------------|
| | | C Carbon | O Oxygen | Ne Neon | Mg Magnesium | Si Silicon | S Sulfur | Ar Argon | Ca Calcium |
| | $Z \rightarrow$ | 6 | 8 | 10 | 12 | 14 | 16 | 18 | 20 |
| N | | | | | | | | | |
| 4 | | 3400 | | | | | | | |
| 6 | | 4490 | 6580 | | | | | | |
| 8 | | 7000 | 6900 | 1900 | | | | | |
| 10 | | 1750 | 1600 | 1600 | 1300 | | | | |
| 12 | | 1500 | 1600 | 1300 | 1400 | 1800 | | | |
| 14 | | 1500 | 3150 | 2000 | 1850 | 1750 | 2200 | | |
| 16 | | | | 2100 | 1500 | 2300 | 2250 | 2100 | |
| 18 | | | | 1300 | 1500 | 2000 | 2150 | 2000 | 2200 |
| 20 | | | | | 850 | 3300 | 3300 | 2150 | 3850 |
| 22 | | | | | 600 | 1450 | 1300 | 1500 | 1500 |
| 24 | | | | | | 1100 | 900 | 1170 | 1150 |
| 26 | | | | | | | 900 | 1150 | 1300 |
| 28 | | | | | | | 1300 | 1550 | 3800 |
| 30 | | | | | | | | | 1000 |



الشكل (٧): تغير الطاقات التحريرية لسوية الأولى (E_{21}^+) من أجل النوى الزوجية-الزوجية عند تغير عدد النترونات وثبات عدد البروتونات من أجل الكربون C والأكسجين O والنيون Ne.

إن الشكل (٧) يمثل تغير طاقة السوية الأولى المحرضة 2_1^+ للنواة الزوجية-الزوجية للكربون (●)، للأكسجين (◆) وللنيون (▲). إن هذا يسمح لنا بالدراسة المنتظمة لسلوك طاقة هذه السوية من أجل النوى الغنية بالنيوترونات حول العدد $N = 14$. يشير التغير إلى أنه حتى عدد النيوترونات $N = 12$ ، نواة الكربون تتبع نفس سلوك نواة الأكسجين؛ ولكن عند $N = 14$ ، يوجد اختلاف مهم قد لوحظ بين الكربون $^{20}_6C_{14}$ والأكسجين $^{22}_8O_{14}$: إن طاقة السوية 2_1^+ للأكسجين تزداد بشكل قوي بالنسبة للكربون $^{20}_6C_{14}$ ، حتى أنها تتجاوز طاقة الفصل لنيوترون في حالة الأكسجين $^{24}_8O_{16}$. إن هذا المفعول يمكن شرحه بسلوك الحالات بجسيم وحيد للمدارات $d_{5/2}$ و $s_{1/2}$ على طول سلسلة نواة الكربون والأكسجين [٢٥].

يبدو من المنطقي والمعقول افتراض أنه، من أجل الكربون $^{20}_6C_{14}$ ، أن السوية الأولى المحرضة 2_1^+ هي نتيجة تحرير جسيم-ثقب بين السويات بجسيم واحد في المدارين $d_{5/2}$ و $s_{1/2}$. إن الفرق الضعيف للطاقة بين السويات بجسيم واحد سيكون له نتيجة أن السوية 2_1^+ لها طاقة ضعيفة. بالمقابل، في حالة الأكسجين $^{22}_8O_{14}$ ، التباعد بين السويتين $5/2^+$ و $1/2^+$ بجسيم واحد أكثر أهمية. إن هذا التباعد أو الفرق تم تأكيده بحساب نظري يعطي قيمة من مرتبة الد (4 MeV) [٢٦]، وهذا يشرح القيمة المرتفعة لطاقة السوية الأولى المحرضة 2_1^+ للأكسجين $^{22}_8O_{14}$.

إن الطاقة المرتفعة لسوية 2_1^+ للأكسجين $^{22}_8O_{14}$ تؤدي بشكل قوي أن الفجوة "gap" عند $N = 16$ في الأكسجين هي أيضاً كبيرة مثل الفجوة عند $N = 14$. وتشير طاقة السوية 2_1^+ للكربون $^{20}_6C_{14}$ التي هي أقل مما هي عليه في الأكسجين $^{22}_8O_{14}$ ، أي من أجل $N = 14$ ، أن نواة الكربون $^{20}_6C_{14}$ هي أقل كرويةً من نواة الأكسجين $^{22}_8O_{14}$.

بالعودة إلى نواة النيون $^{22}_{10}Ne_{12}$ ، كيف يمكن الحصول على سبين ونوعية السوية الأولى المُحرضة؟

بحسب نموذج الطبقات، فإن السوية الأساسية لهذه النواة تساوي $J^\pi = 0^+$ (وذلك لأنهما نوى زوجية البروتونات والنيوترونات، هناك زوج من النيوترونات متواضع على المدار $1d_{5/2}$. إن تشكيل العزوم الزاوية $j = 5/2$ من أجل النيوترونيين المشار إليها سابقاً على نفس السوية الطاقية يعطي:

$$|j_n - j_n| \leq j \leq |j_n + j_n| \rightarrow \left| \frac{5}{2} - \frac{5}{2} \right| \leq j \leq \left| \frac{5}{2} + \frac{5}{2} \right| \rightarrow j = 0, 1, 2, 3, 4, 5$$

$$\pi = (-1)^{\ell_n + \ell_n} = (-1)^{d+d} = (-1)^{2+2} = +$$

$$\rightarrow J^\pi = 0^+, 1^+, 2^+, 3^+, 4^+, 5^+$$

وهذه كل القيم الممكنة لـ J^π ، وبما أن نواة النيون $^{22}_{10}Ne_{12}$ زوجية-زوجية، فإن يجب أن يكون لدينا:

$$J^\pi = 0^+, 2^+, 4^+$$

وكما هو متوقع، فالحالة الأساسية تتميز بـ $J^\pi = 0^+$

إن الحالة المُحرضة 2^+_1 التي تم الحصول عليها تجريبياً يمكن أن تفسر بكسر التزامن بين النيوترونيين $(1d_{5/2})^2$ ، ووضع نيوترون على المدار $2s_{1/2}$. في هذه الحالة، فإن التشكيل بين $j = 5/2$ و $j = 1/2$ يسمح بالحصول على ما يلي:

$$|j_n - j_n| \leq j \leq |j_n + j_n| \rightarrow \left| \frac{5}{2} - \frac{1}{2} \right| \leq j \leq \left| \frac{5}{2} + \frac{1}{2} \right| \rightarrow j = 2, 3$$

$$\pi = (-1)^{\ell_n + \ell_n} = (-1)^{d+s} = (-1)^{2+0} = +$$

$$\rightarrow J^\pi = 2^+, 3^+$$

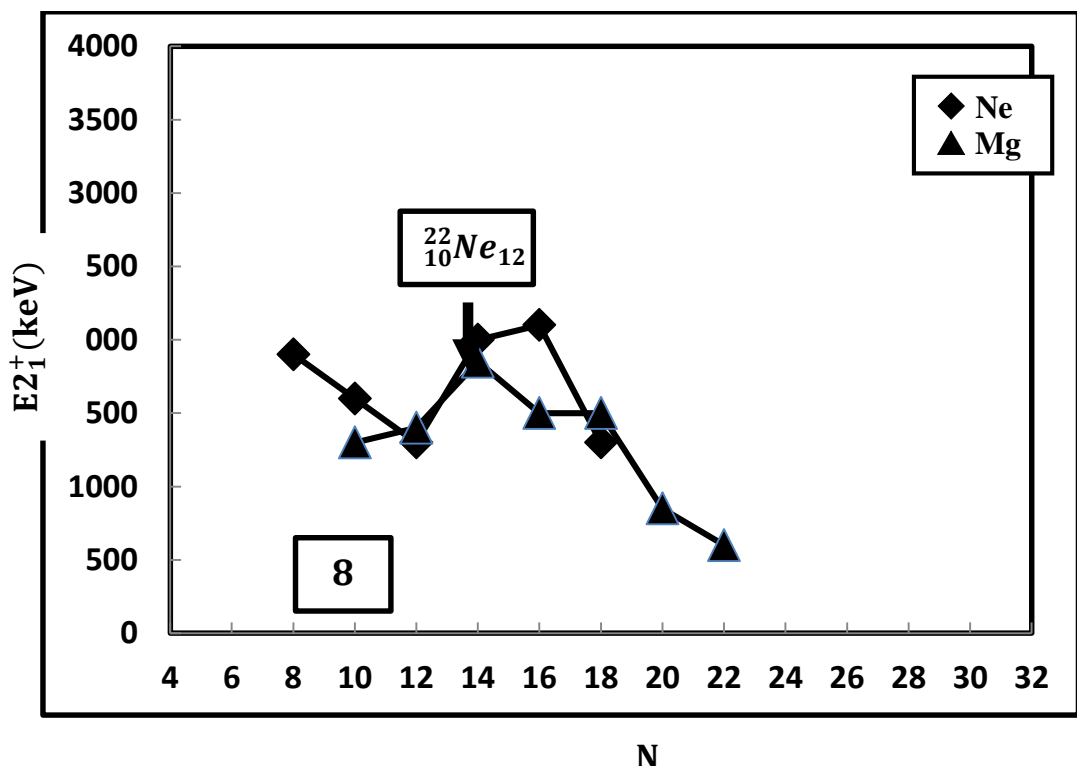
أو يمكن كسر التزامن بين النيوترونيين $(1d_{5/2})^2$ ، ووضع نيوترون على المدار $2d_{3/2}$. في هذه الحالة، فإن التشكيل بين $j = 5/2$ و $j = 3/2$ يسمح بالحصول على ما يلي:

$$|j_n - j_n| \leq j \leq |j_n + j_n| \rightarrow \left| \frac{5}{2} - \frac{3}{2} \right| \leq j \leq \left| \frac{5}{2} + \frac{3}{2} \right| \rightarrow j = 1, 2, 3, 4$$

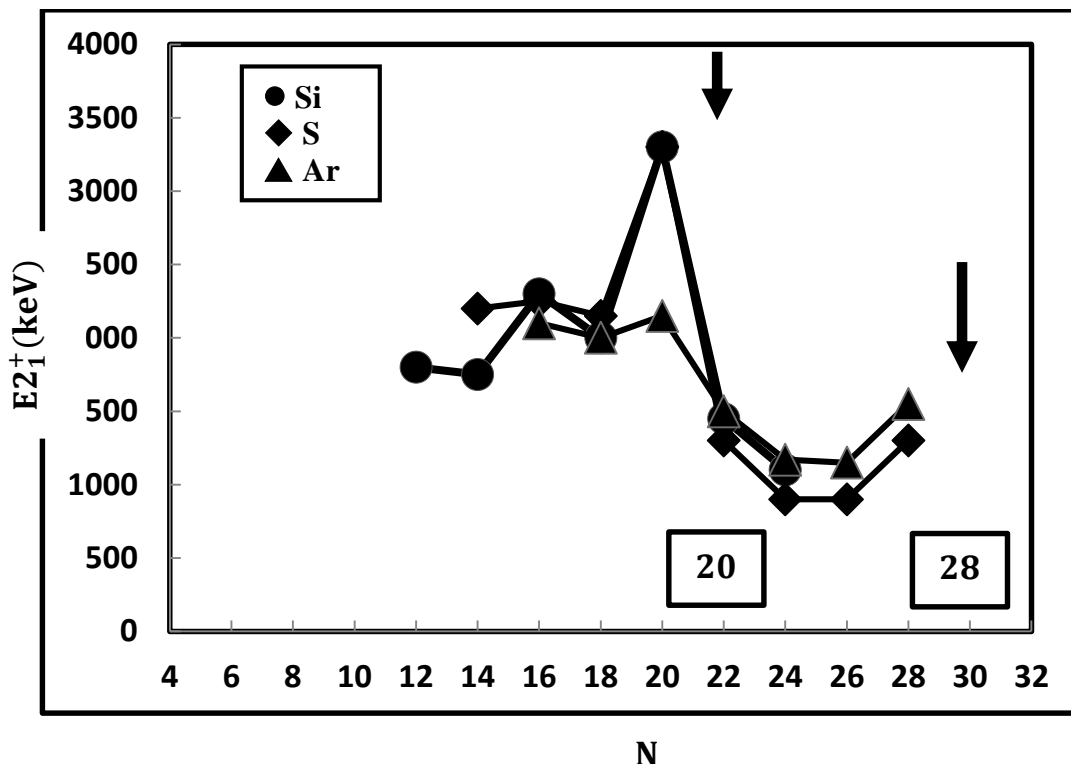
$$\pi = (-1)^{\ell_n + \ell_n} = (-1)^{d+d} = (-1)^{2+2} = +$$

$$\rightarrow J^\pi = 1^+, 2^+, 3^+, 4^+$$

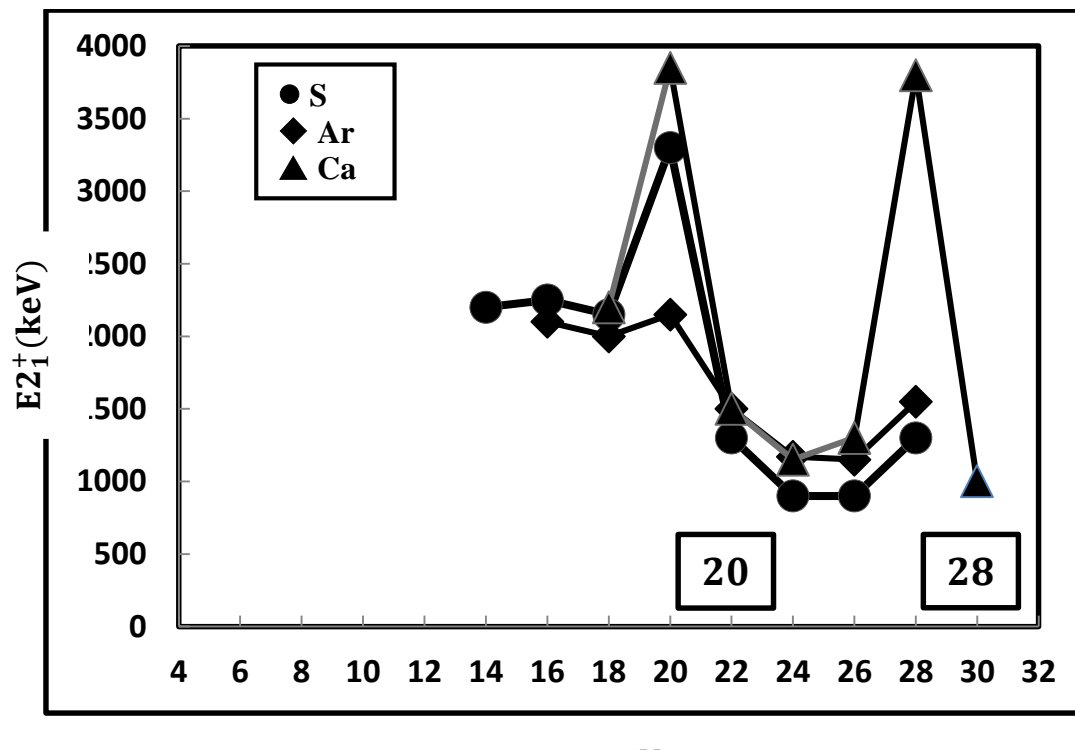
ولكن في هذه الحالة يلزمها طاقة تحريضية أكبر. إن مثل هذا الوضع يقود لتصور إن أن تلك النواة مشوهه، أي ليست كروية.



الشكل (٨): تغير الطاقات التحريرية للسوية الأولى ($E2_1^+$) من أجل النوى الزوجية-الزوجية عند تغير عدد النترونات وثبات عدد البروتونات من أجل النيون Ne والمغنيزيوم Mg.



الشكل (٩): تغير الطاقات التحريضية للسوية الأولى ($E2_1^+$) من أجل النوى الزوجية-الزوجية عند تغير عدد النترونات وثبات عدد البروتونات من أجل السيليكون *Si* والكبريت *S* والأرغون *Ar*.



الشكل (١٠): تغير الطاقات التحريرية للسوية الأولى $E(2_1^+)$ من أجل النوى الزوجية-الزوجية عند تغير النترونات وثبات عدد البروتونات من أجل السوفر S والأرغون Ar والكالسيوم Ca.

نلاحظ، من الأشكال السابقة، أنه من أجل نظائر الـ O، Mg، و Ne، طاقة السوية المُحرضة 2_1^+ تتلاقص من أجل عدد النيوترونات ($N = 12$) الواقع بين ($N = 10$) و ($N = 14$)، الشكل (٧). بالمقابل نصل إلى القيمة ($N = 20$)، من أجل المغنيزيوم $^{32}_{12}Mg_{20}$ حيث الطاقة ضعيفة جداً. إن القيمة الموجودة (850 keV) أصغر تقريراً بأربع مرات من القيمة (3300 keV) العائدة للسيليكون $^{34}_{14}Si_{20}$ ، نواة $^{34}_{14}Si_{20}$ تمتلك فقط بروتونين إضافيين. إن قيم طاقات الفصل لنيوترونين المستنيرة من قبل F. Sarazin وزملائه [٢٧] تشير إلى أن هناك سلوك مختلف جداً عن $^{32}_{12}Mg_{20}$ بالنسبة للطبقة ($N = 20$) المغلقة (طبقة سحرية): طاقة الفصل لنيوترونين لـ $^{32}_{12}Mg_{20}$ تساوي (8 MeV)، بينما لـ $^{34}_{14}Si_{20}$ تساوي (12 MeV). وكان الـ $^{34}_{14}Si_{20}$ يسلك سلوك نواة مستقرة وكأنها مضاعفة السحرية (سحرية البروتونات والنيوترونات)، بينما هي سحرية النيوترونات فقط ($N = 20$). وهذه النواة تتموضع في منتصف الطبقة البروتونية ($Z = 14$ ، الشكل (٧)). تشير هنا إلى أن معرفتنا لنظائر الأكسجين O والنيون تتوقف عند ($N = 14$ & 18) على التوالي، راجع الجدول (١). إن القيم المرتفعة، والمقاسة لطاقة السوية 2^+ للنظيرين $^{22}_{8}O_{14}$ و $^{26}_{10}Ne_{16}$ تشير إلى الإغلاق المبكر للطبقة.

ونشير هنا إلى أن Sorlin وزملائه [٢٨] قاسوا نصف عمر حياة النظير $^{44}_{16}S_{28}$ ، ووجدوا أنها تساوي

($T_{1/2} = 123 \text{ ms}$) وهي قيمة قصيرة، ووجدوا أن احتمال إصدار نيوترون ضعيف (18%). إن هذه القيم التجريبية تشير إلى أن هذه النواة في الحالة الأساسية هي نواة مشوهة وليس كروية كما هو منظر لنواة تمتلك عدداً سحرياً من النيوترونات. ودُعمت هذه النتيجة بالقيمة الكبيرة لاحتمال الانتقال ($2^+_1 \rightarrow 2^+_{g.s}$) عدد المقادس من قبل Glasmacher وزملائه [٢٩] والذي يساوي ($314 e^2 fm^4$)، وبواسطة القياس التجاريبي لكتلة الـ $^{44}_{16}S$ من قبل F.Sarasin وزملائه [٢٧]. ويمكن استنتاج قيمة عامل التشوه β من قيمة احتمال الانتقال السابقة وفق العلاقة التالية [٣٧-٣١]:

$$\beta_2 = \frac{1}{ZeR^2} \sqrt{\frac{B(E; 0^+_{g.s} \rightarrow 2^+_1)}{\left(\frac{3}{4\pi}\right)^2}}, \quad R = 1,2 \text{ (fm)} \cdot A^{1/3}$$

ووجد أنها تساوي (0,258).

ونشير هنا إلى أن القيم التي تم إيجادها من أجل قيم طاقات الفصل لنيوترونات توّكّد ضعف العدد السحري من أجل نوى السوفر $^{44}_{16}S$ والأرغون $^{44}_{18}Ar$ [٢٨]، إضافة إلى القيم الضعيفة لطاقة السوية $^{2^+}_1$ ، الجدول (١) والشكل (٩).

وأخيراً نشير إلى أن عدد النيوترونات في نواة النيون $^{28}_{10}Ne$ يوافق تقريباً للملئ التام أو الكلي للمدار $1d_{3/2}$ الذي يُغلق الطبقة ($N = 20$). بشكل معاكس لنوى الكبريت S والسيليكون Si التي تبقى كروية عند ($N = 20$)، لكن نوى المغنيزيوم Mg تبدو مشوهة بالرغم من أنها تحتوي على العدد ($N = 20$) الذي تقول عنه سحري النيوترونات. ولهذا السبب، إن النوى مثل المغنيزيوم $^{34}_{12}Mg$ والنيون $^{28}_{10}Ne$ تعتبر جزءاً من هذا الذي نسميه "جزر الانتقال أو الانعكاس" (بسبب انقلاب المدارات $1d_{5/2}, 2s_{1/2}, 1d_{3/2}, 2s_{1/2}, 1d_{5/2}$). إن هذه التسمية تأتي كون النوى التي تقع ضمن المجال ($N = 20$) هناك تعايش بين الشكل الكروي والشكل المشوه، أي أن الشكلين يمكن أن يتواجدان بنفس الوقت، أي أن الطبقات النووية يمكن أن تكون، بأن واحد، كروية أو مشوهه؛ إن الحالات المشوهه هي الحالات الأكثر ملائمة من الحالات الكروية عند الطاقات المرتفعة. وهذا يتم تفسيره بكون "فجوة النيوترونات" ($N = 20$) تفقد من أهميتها بسبب التأثير المتبادل نيوترون-بروتون للمدارين ($P(1d_{5/2}) - P(1d_{3/2})N$). إن هذا التأثير المتبادل هو تجاذبي وأعظمي عند امتلاء هذين المدارين (مثلاً نواة السيليكون $^{34}_{14}Si$ التي تمتلك فجوة ($N = 20$) كبيرة تتمثل بطاقة قرها (3300 keV) للحالة 2^+_1)، وتضعف بالتدريج حتى تصبح فارغة (في حالة النوى كالمغنيزيوم $^{32}_{12}Mg$ حيث المدار البروتوني $1d_{5/2}$ لم يعد يحتوي إلا على ٦ بروتونات والذي بدوره يؤدي إلى تقليل الفجوة ($N = 20$)). وهذه الشروحات يجب أن تجد تأكيدات تجريبية بملاحظة تقليل أكثر أهمية للفجوة $N = 20$ في حالة نواة النيون $^{30}_{10}Ne$. لكن حتى الآن لم يتم إنتاج أو توليد نظائر النيون ما بعد $^{29}_{10}Ne$.

٥- الاستنتاجات والتوصيات:

إن النتيجة الأكثر أهمية هي إيضاح الاختلاف الفريد عند $N = 14$ بين الطاقات التحريرية للسويات 2^+_1 في نظائر الكربون، الأكسجين والنيون. يقود هذا إلى تغيير في التركيب النووي، غير المنظر، وذلك مروراً بـ $Z = 6$ إلى $Z = 10$. إن الفرق الوحيد الذي يمكن أن نذكره هو تشكيلات البروتون. في الواقع نلاحظ أن، الانتقال من نظائر الكربون إلى الأكسجين، المدار (أو الطبقة) ($p_{1/2}$) تملئ. إن السؤال الذي يُطرح إذاً هو

التالي: كيف أن امتلاء هذا المدار البروتوني يمكن أن يؤدي إلى تغيرات مهمة لمدارات النيوترونات لتوليد تحريضات رباعية الأقطاب أيضاً مختلفة؟ نشير هنا إلى أنه من الممكن أن يعود ذلك إلى التأثير المتبادل بين نيوترون-بروتون الذي يلعب دوراً مهماً في هذا المجال. هذا يعني، بطريقة أكثر عمومية، أنه في حالة المدارات المرافقة (المشاركة) لـ "سبين-مدار"، هذا التأثير المتبادل يحدث بين الحالات النووية التي تمتلك تشكيلاً حيث لا تكون السبيّنات الذاتية غير متوازية.

إن امتلاء المدار البروتوني ($d_{1/2}, l = 2, s = -1/2$) والمدار النيوتروني ($p_{1/2}, l = 1, s = +1/2$) يولد في حالة الأكسجين $^{22}O_{14}$ تأثيراً متبادلاً تجاذبياً يزيد من مفعول الفجوة $N = 14$ بالنسبة لحالة الكربون $^{20}C_{14}$ حيث طبقة البروتونات ($p_{1/2}$) فارغة. إن هذا التأثير المتبادل بين نيوترون-بروتون هو المسؤول أيضاً عن إضعاف مفعول الطبقة $N = 20$ في نظائر المغنيزيوم Mg والنيون Ne الذي يجب أن يعود مصدره إلى سبب أكثر عمقاً.

أخيراً، يمكن القول على ضوء هذا العمل وأعمال أخرى متعلقة بالتركيب النووي لمناطق أخرى من الكتل أن تأثيرات ومفاعيل الطبقات في النوى لم تتطلب ولم تنتهي، وهي تتعلق بتشكيلاً جسيمات (البروتونات والنيوترونات) التكافئية، أي التي تتوارد في الطبقات النووية الأخيرة.

إن هذه الدراسة سمحت الإضاءة على آلية التوليد والتركيب النووي للنظائر التي تم ذكرها سابقاً. بالإضافة إلى ذلك تم الحصول على وبالحصول على معلومات جديدة للنظائر الزوجية-الزوجية لكل من: الكربون C، الأكسجين O، النيون Ne، المغنيزيوم Mg، السيليكون Si، الكبريت S، الأرغون Ar، والكالسيوم Ca تتعلق بتركيبها النووي، وبشكل خاص طاقات السويات المحرضة (E_1^{2+}) لهذه النظائر. كما تسمح لنا هذه الدراسة بالقول إنه يوجد تعايش بين الشكل الكروي والمشوه لنواة النيون، أي يتواجدان معاً بآن واحد، ولكن الشكل المشوه هو الأكثر احتمالاً من أجل الطاقات المرتفعة.

المراجع

- [1] Luc Valentin, *Physique subatomique: Noyaux et Particules*. Enseignement des sciences. Hermann, Paris, 1975.
- [2] A. Maesschalck. *The changing mean field in exotic nuclei: a shell-model point of view*. Phd thesis, Universiteit Gent, Faculteit Wetenschappen (2006), 4.
- [3] M. G. Mayer. *Nuclear configurations in the spin-orbit coupling model. i. empirical evidence*. Phys. Rev. 78, 16 (1950), 4.
- [4] R. F. Casten. *Nuclear structure from a simple perspective*. Oxford University Press (2000), 6, 15.
- [5] T. Otsuka et al, Phys. Rev. Lett. 105 (2010), no. 032501.
- [6] M. G. Mayer, Phys. Rev. 75 (1949), 1969.
- [7] O. Haxel, J. Hans, D. Jensen, and H. E. Suess, Phys. Rev. 75 (1949), 1766.
- [8] M. A. Preston, *Physics of the Nucleus*. Addison-Wesley publishing company, Inc., 1962.
- [9] *Atomic and Nuclear Physics, Radioactivity, Detection of Radioactivity*, Printed in the Federal Republic of Germany by Leybold Didactic GmbH, 2007, experiment p6.5.6.1, 1-4.
- [10] J. Jabbour, H. Jbeli and S .Aljammal, *Experimental and Analytical Study of the Energy Spectrum and Decay Schemes of both Isotopes Cobalt ^{60}Co and Sodium ^{22}Na* . Tishreen University Journal, Vol (41), No (1) 2019.

- [1] J. Jabbour, J. Mulhem and S. Yassin, *Experimental Study of the Conservation Law in Compton Effect*. Accepted for publication in Tishreen University Journal, 2012.
- [2] J. Jabbour, H. Jbeli and J. Mulhem, *Measuring the radioactivity resulted from (137Cs) and from (40K) isotopes of milk samples from different sources in the city of Lattakia*. Accepted for publication in Tishreen University Journal, 2013.
- [3] J. Jabbour, H. Jbeli and S .Aljmmal, *Analytical and experimental study of the mechanisms of account and measure the radioactivity of the radioactive sources*. Accepted for publication in Tishreen University Journal, 2014.
- [4] ORTEC Application Note. An 34, *Experiments in Nuclear Sciences*, 2013, Published by ORTEC, Experiment 3, Gamma-Ray Spectroscopy Using $NaI(Tl)$, 1-20. www.ortec-online.com.
- [5] Daphne F. Jackson, *Nuclear Reactions*, Mathuen & Co LTD, U.S.A., 1970.
- [6] Walter E. Meyerhof, *Element de physique nucléaire*, Dunod Universite, Paris, 1970.
- [7] Aurore Dijon. *Evolution de la collectivité autour du 68Ni : rôle des états intrus*. Physique Nucléaire expérimentale [nucl-ex]. Université de Caen, France, 2012. 118.
- [8] M. Stanoiu, Thèse IPNO T-03-01, 2003.
- [9] M. Stanoiu et al., *Phys. Rev. C69*, 034312, 2004.
- [10] M. Stanoiu et al., *Eur. Phys. J A20*, 95, 2004.
- [11] F. Azaiez et al., *Eur. Phys. J A15*, 93, 2002.
- [12] O. Sorlin et al., *Proceedings of the Int. Conf. on the Labyrinth of Nucl. Struct.*, EPS meeting, 13-19 juillet 2003, AIP publishing, ed. C. Kalfas.
- [13] M. Belleguic et al., *Phys. Rev. C72*, 054316, 2005.
- [14] O. Tarasov et al., *Phys. Lett. B409*, 766, 1998.
- [15] E. K. Warburton et A. Brown, *Phys. Rev. C46*, 2923, 1992.
- [16] B. A. Brown, *Rev. Mexicana de Fisica* **39**, Supl 2, 21, 1993.
- [17] F. Sarazin et al., *Phys. Rev. Lett.* **84**, 5062, 2000.
- [18] O. Sorlin et al., *Nucl. Phys.* **A583**, 763c, 1995.
- [19] T. Glasmacher et al., *Phys. Lett. B395*, 163, 1997.
- [20] P. H. Stelson and L. Grodzins. Nuclear Data A1, No. 1 (1966)
- [21] F. D. Becchetti, Jr. et G. W. Greenlees, *Phys. Rev.* 182 (1969) 1190.
- [22] T. H. Curtis, H. F. Lutz et W. Bartolini, *Phys. Rev. C1* (1970) 1418.
- [23] N. Alpert, J. Alster, E. J. Martens et W. Pickles, *Phys. Rev. C4* (1971) 1230.
- [24] P. E. Hodgson, dans « *Nuclear Reactions and Nuclear Structure* », Clarendon press-Oxford
- [25] O. Perru, “*Thèse de Doctorat*, Université de Paris XI, Orsay (2004).
- [26] R. O. Hughes et al., *Phys. Rev. C66*, 054313 (2002).
- [27] E. Clement, “*Thèse de Doctorat*, Université de Paris XI, Orsay (2005).